

長岡技術科学大学 建設工学科 正員 桃井清至
同 原田秀樹
同 大学院 学生員○竹内和雄

1. はじめに

流動層式脱窒は、生物学的脱窒法の中でも、コンパクト化および脱窒能力の優れている点で注目されている方法である。本研究は流動層式脱窒のモデル化を目的としており、1.) 種流速、および C/N 比の変化に伴う、NO₃-N 濃度、NO₂-N 濃度、TOC のカラム内の変化を求める。2.) 流動層型脱窒反応をモデル化するに必要なデータの入手の2点に着目した基礎的実験を行ったので報告する。

2. 実験装置および実験方法

実験装置：図-1 に実験装置の概要を示す。カラムは、透明アクリル樹脂製で内径 30mm、高さ 2m である。カラム上部に生物剝離装置を取り付けた。これは、脱窒反応で生じた窒素ガスの付着したペレットから気泡を遊離させるのに有効であった。カラムには 10cm 間隔にサンプル採取口を、20cm 間隔にマノメーターを取り付けた。キャリアは、粒径範囲 0.25~0.6mm、平均径 0.4mm、真比重 2.0~2.1g/cc の粒状活性炭を用いた。

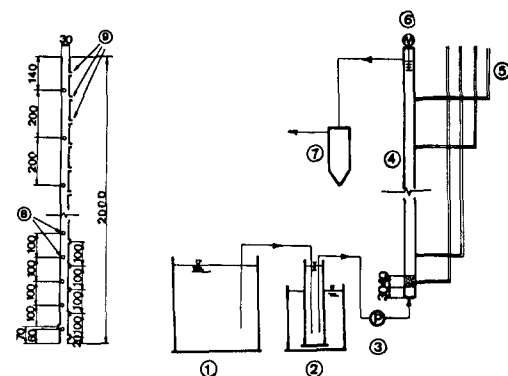
運転条件：基質中の有機炭素源はメタノールを、窒素源は NaNO₃ を使用した。定常運転では、メタノール / NO₃-N 比を 3 倍とした。本実験では全く加温は行わず、水温変化は 9.8~12.9°C で行った。流量は 130~220 L/day、種流速 (L.V) は 2.5~13.3L/h、滞留時間 (D.T) は、8~14 分の範囲で行った。

分析方法：水質項目は、下水道試験法に従って行った。生物濃度は、C-N コーダーを用いて、生物体の N 量より算定するものとした。粒径分布および生物膜厚は実体顕微鏡による写真撮影により実測した。

3. 実験結果および考察

流速変化に伴うカラム内の NO₃-N 濃度、および TOC の変化を図-2 に示した。同時にカラム内の NO₂-N の蓄積状態を示した。これより、NO₃-N 濃度および有機

炭素源の除去速度は、生物膜内の拡散現象によって律速されているものと判断される。表-1 に実験条件および後次速度定数を示す。NO₃-N の流出は流速の増大に伴い大となり、最大 NO₃-N 蓄積量は流入 NO₃-N 濃度の 10% に達した。図-3 に C/N 比の変動に伴う NO₃-N 濃度、および TOC の変化を示す。図より有機炭素源が十分に存在する区間においては、後次反応に従う事が認められた。また、この区間ににおける除去 NO₃-N 量に対する消費メタ



① 基質タンク(200L) ④ 脱窒カラム ⑦ 沈殿槽
② 加温装置 ⑤ マノメーター ⑧ マノメーター口
③ ポンプ ⑥ 剥離装置 ⑨ サンプル採取口

図-1 実験装置概略図

	L.V (m³/h)	D.T (min)	N _O (mg/L)	CH ₃ OH (NO ₃ -N)	窒素貯蔵 (kg/m ³ day)	K _N (mgNO ₃ /min)	K _C (mgCH ₃ OH/min)	除去率 (%)
RUN 1	7.9	12.2	30	3	3.23	0.66	0.51	100
2	9.9	10.0	30	3	4.03	0.58	0.51	96
3	12.9	8.0	30	3	5.29	0.41	0.41	84
4	7.3	13.2	30	3	2.93	0.98	0.59	95
5	7.3	13.2	30	2	2.93	0.45	0.61	73
6	7.1	13.9	30	1	2.90	0.18	0.53	53

表-1 実験条件および後次速度定数

ノール(メタノール = 2.67
 \times TOC) の比は 0.95 であ
 った。

図-4 にカラム単位体積
 当りの生物濃度分布を示す。
 生物濃度は 40,000 mg/l と
 カラム内に均一であった。
 定常時 ($LV = 7.9 \text{ ml/hr}$) で

は、滞留時間 45 分で 90%

の脱窒が得られており、脱

窒速度は $8.37 \text{ mg-NO}_3\text{-N/g-MLSS/hr}$ と観測された。浮遊
 型脱窒反応器においては、最大脱窒速度で 12.6 mg/g-MLSS
 $/\text{hr}$ が得られており、流動層反応器が浮遊型反応器に比し
 て高効率なのは、高生物濃度の維持が可能であるからと
 判断できる。図-5 にカラム内の粒子(担体+生物膜厚)
 分布及び、平均粒径を示す。粒子はカラム内にはほぼ一様
 に分布しており、平均粒径はカラム高さ方向に一定であ
 った。これは、生物膜内で脱窒反応が生じると N_2 が生成
 され、見掛け密度が軽減し、カラム上部に浮上した粒子は、
 ガス遊離と同時にカラム下部へ沈降しやすくとい
 う粒子の上下運動に起因するものと判断される。また、
 粒径については、単に表面積拡大の立場から
 考えるならば、小さいものが有効と考えられ。

る。ただし粒径の大きな担体の方が、小さな
 担体に比べて生物の肥膜率は高く、最適粒径
 範囲が存在するものと判断できる。

4.まとめ

1) $NO_3\text{-N}$ 濃度および TOC 量は生物膜内
 扩散律速となり、 $1/2$ 次反応に従った。

2) 流動層反応器は、40,000 ppm という高
 い生物濃度を保持しており浮遊型反応器の 10
 倍程度の処理能力が期待できる。

3) 流動層反応器においては、生物膜厚と
 担体の大きさが重要なパラメータであると判
 断される。

参考文献

- 1) Poul. Harrmoës "The significance of pore diffusion to filter denitrification"
 Journal WPCF, Vol 48, No 2 (1976)

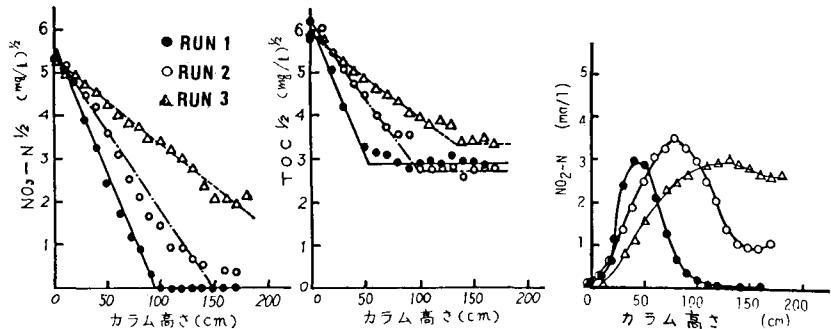


図-2 流速変動における $NO_3\text{-N}$, $NO_2\text{-N}$, TOC の塔内変化

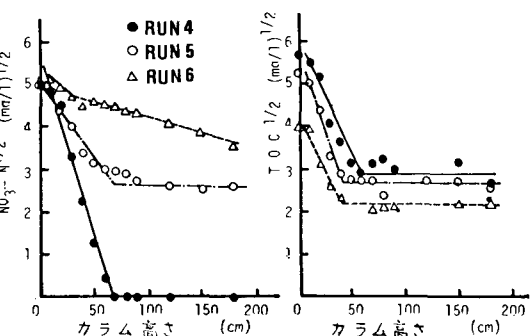


図-3 %N 比変動における $NO_3\text{-N}$, TOC の
 塔内変化

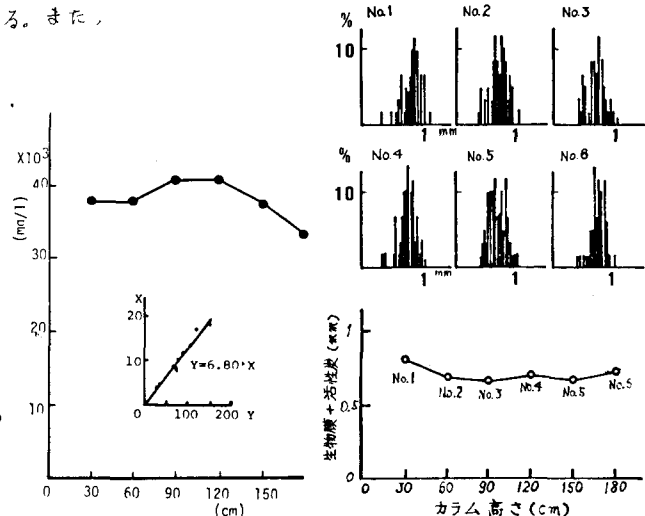


図-4 生物濃度分布

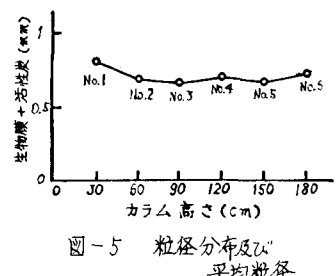


図-5 粒径分布及び
 平均粒径